

# MP 16 - Milieux Magnétiques

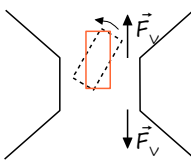
$$\vec{B} = \mu_0 \cdot (1 + \chi) \cdot \vec{H}$$

- Diamagnétisme:  $\chi_d < 0, |\chi_d| \approx 10^{-5}$
- Paramagnétisme:  $\chi_p > 0, |\chi_p| \approx 10^{-3} \gg |\chi_d|$
- Ferromagnétisme:  $\chi_f \approx 10^2 \text{ à } 10^6 \gg \chi_p, |\chi_d|$

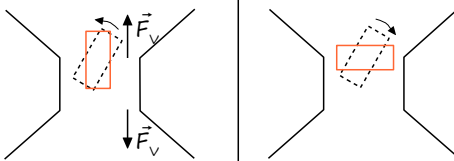
## I - Diamagnétisme / Paramagnétisme

### I.1) Mise en évidence

Bismuth (Dia)

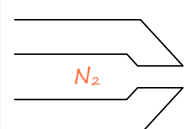


Aluminium (Para)

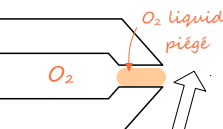


$$\vec{F}_v \approx \frac{\chi}{2 \cdot \mu_0} \cdot \vec{\nabla} (\vec{B}^2)$$

### I.2) Paramagnétisme du dioxygène



Dia

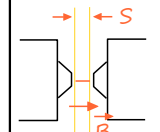


O2 liquide piégé  
Para

Attrié vers les champs faibles  
→ repoussé

Attrié par les champs forts

### I.3) Susceptibilité de $\text{FeCl}_3$



$$h = \frac{\chi_{\text{sol}} \cdot B^2}{2 \cdot \mu_0 \cdot \rho_{\text{sol}} \cdot g \cdot \left(1 + \frac{y}{S}\right)}$$

$$\chi_{\text{sol}} = \pm$$

$$\rho_{\text{sol}} = 1660 \pm 10 \text{ kg} \cdot \text{m}^{-3}$$

$$r = 1,1 \pm 0,1 \text{ mm} \quad R = 3,4 \pm 0,1 \text{ mm}$$

$$\chi_{\text{FeCl}_3} = \chi_{\text{sol}} \cdot \frac{\rho_{\text{FeCl}_3}}{\rho_{\text{sol}} \cdot \chi_m}$$

$$\chi_{\text{FeCl}_3} = \pm$$

$$\chi_m = 0,41$$

$$\rho_{\text{FeCl}_3} = 2800 \text{ kg} \cdot \text{m}^{-3}$$

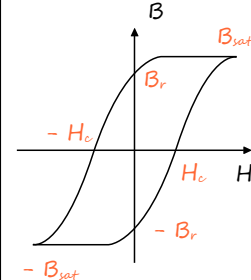
$$\chi_{\text{FeCl}_3, \text{tab}} = 3,3 \cdot 10^{-3}$$

$$H = N_1 \cdot \frac{V_{\text{res}}}{R \cdot L_{\text{tore}}} \quad N_1 = 100$$

$$N_2 = 500$$

$$B = \frac{R_i \cdot C_i}{N_2 \cdot S_{\text{tore}}} \cdot V_s$$

Fer doux	Ferrite
$B_{\text{sat}} = \pm$	$B_{\text{sat}} = \pm$
$B_r = \pm$	$B_r = \pm$
$H_c = \pm$	$H_c = \pm$
$P_{\text{hyst}} = \pm$	$P_{\text{hyst}} = \pm$



## II - Ferromagnétisme

### II.1) Mise en évidence

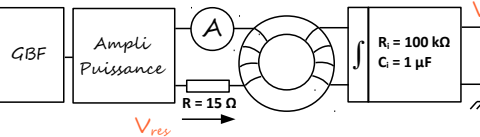
Morceau de métal + aimant  $\Rightarrow \vec{F}$  importante

### II.2) Transition ferro-para

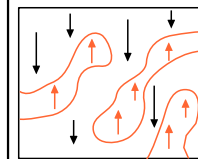
$T_c \rightarrow$  Fe perd ses propriétés ferromagnétiques

$$T_c = \quad {}^\circ\text{C} \quad (T_{c, \text{tab}} = 770 {}^\circ\text{C})$$

### II.3) Hystérésis magnétique



## III - Domaines de Weiss



Visualisation par effet Faraday  
SANS saturation : réversible  
APRES saturation : irréversible